

はじめに： 急速ろ過層の抑止現象のモデルとしては、膜の界面電位の電気力学的要素を考慮したものとか、砂粒周辺に着目してフロックと掃流剪断流れによって移動させる形のがべらわれている。しかし砂層内部がかなり進行した段階では、フロックの連結による架橋現象があり、これが順次破壊され乍ら、下流へ掃流されるパターンもある。実際の障壁現象はこの両方の組合せによって成立ると考えることもできる。すなわち、初期の段階では、砂粒周辺への蓄積・沈着から始まり、次第に架橋的に間隙を埋め乍ら、それぞれの間隙を模化していく。しかし、ろ過膜での抑止が増加すると、フロック膜に蓄積捕留される抑止物質が大きくなり、間隙内の密度が大きくなり、透過抵抗は次第に大きくなり、差圧勾配も増加する。一方ろ過膜も抑止物質を多くしてから、それ自身の強度は大きくなつてゆくであろうが、やがてフロックの架橋强度よりも、差圧が優越して膜は破壊され、さらに下流へ搬送される。より深部の下流では、破壊されて搬送されてきたフロックにより、新しいフロック膜が構成され、同様の破壊をくり返す。このように破壊と架橋を順次くり返してから、抑止物質は次第に深部に到達する。一方破壊されたフロック膜は砂粒の周辺では完全に壊れるのではなく、砂粒の周辺のある部分はそのまま残して次の架橋へ進んでいく。

筆者はさきにろ過層内を多孔管として、摩擦剪断により掃流されたパターンについて、次元解析を用いて、実験的に抑止率を計算した。¹⁾ さらにろ過層が逆洗浄効果によって構成される砂層の水理的要因としての間隙の規模を砂粒度分布との相関から統計的に表示し、これについての摩擦剪断力についても統計的に表示することを示した。²⁾

本報告では、フロック膜が構成され乍ら、差圧の増加による破壊を主として剪断作用によるとして、そのモデルを示し、これによるフロックの強度の実測値について報告する。

1 ろ過層間隙の規模

逆洗浄による水篩効果と、混合効果を受けて砂層の間隙の規模は、ろ過開始時 $t=0$ では、水理的有効間隙径 d_{eff} は³⁾

$$d_{\text{eff}} = V_a \lambda_0 / A_0 = \frac{1}{6} \frac{k}{k'} \frac{\lambda_0}{(1-\lambda_0)} / \sqrt{\pi G_2} \int_{\phi_m}^{d_m} \phi \exp \left[-\frac{(\log (\phi/\phi_m))^2}{2G_2^2} \right] d\phi \quad \dots \dots \dots (1)$$

λ_0 : 初期間隙率, ϕ_m : 砂層 d を層 a の水篩・混合状の平均径, G_2 : 砂層 a 位置での砂粒度分布の対数正規分布とした場合の標準偏差値, k/k' : 表面積・体積形状係数。

(1)式に示された間隙規模に対してフロック膜が被覆していふものと考える。

2. 間隙内フロック膜に加わる剪断力

d_{eff} は障壁が開始されていない清浄な砂層の間隙の規模でみて、

砂層中には、抑止物質は填充されてない。(図-1a) しかしフロック膜が構成されている状態では図-1.bのようになる。この場合、Darcyの法則は間隙内で成立し、 d_{eff} に充満してフロック内では

$$\Delta h = U_0 d_{\text{eff}} / k_f \quad \dots \dots \dots (2)$$

$$= (U_0 / \lambda_0) d_{\text{eff}} / k_f \quad \dots \dots \dots (2')$$

k_f : フロック内の直通係数, λ_0 : 初期有効空隙率, U : 空塔速度。

間隙に加わる剪断力 S_f は

$$S_f = \alpha_s \cdot \Delta p / P_f = 4 d_{\text{eff}}^2 \Delta h \rho g \quad \dots \dots \dots (3)$$

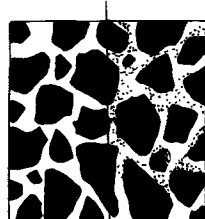


図-1 a b

$$\Delta h = U_0 d_{fm} / k_f \text{ とする}.$$

$$S_d = 4\pi d_{fm}^3 U_0 P g / k_f \quad \dots \dots \quad (4) \quad \text{フロックの膜厚を } d_{fm} \text{ とす。} \Delta h \text{ とする}.$$

$$\Delta h = 4\pi d_{fm}^2 Z_d U_0 P g / k_f \quad \dots \dots \quad (4')$$

間隙の单一の周辺長を $4d_{fm}$ の円形と仮定する。 $a_m = 4\pi d_{fm}$
剪断応力 T_d は

$$T_d = S/a_m = d_{fm}^2 U_0 P g / k_f \quad \dots \dots \quad (5)$$

$$= d_{fm} \cdot Z_d P g U_0 / k_f, \quad U_0 = U / \lambda_0 \text{ として。}$$

$$T_d = d_{fm} \cdot Z_d P g U / k_f \cdot \lambda_0. \quad \dots \dots \quad (5')$$

k_f は間隙内に充足するフロック物質が多くなると小さくなる。

3. フロックの透水係数 k_f の測定

フロック膜に働く剪断力を計算するのに必要な差圧を求めるため、
フロック内の透水係数 k_f を、アルミナ量に対応させて実験により
求めた。実験装置は図-2 である。

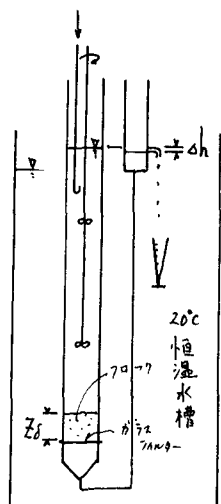


図-2 フロック透水実験装置。

3層にはガラスフィルターを用い、フロック膜を支持させた。用いたガラスフィルターは間隙の規模を変化させるため、No. 1, 2, 3, 4号を用い、ベントナイト、カオリンを基礎基質鉱物とし、それぞれの配合を変化させて用いた。凝集剤には、硫酸アルミニウムを用い、3過筒内で10分間攪拌し、20分間静置沈殿したのち、 Δh が静かに差圧で与えられ、 Δh 、水温、 g (流量) を測定した。

透過開始後、 Δh は漸次小さくなり、時間もててはほぼ一定値に達する。
計算に用いた Δh はこのときの最終値を用いた。

ガラスフィルターの間隙の径 (μ)

No. 1.	No. 2	No. 3	No. 4
100~120	40~50	20~30	5~10

Δh は Z_d の圧密に応じて大きくなる傾向があるが、大きさは変化はない。
 $\Delta h/Z_d$ の急激な大きさ。

アルミナ量が多くなると $\Delta h/Z_d$ は大きくなる。カオリンとベントナイトではベントナイトの方が k_f は小さくなる。

4. フロックの剪断強度

Δh をさらに大きくして、フロック膜が壊れる限界値をえた。フロックの破壊は、肉眼によるほか、差圧マノメーターの急激な回復(破壊時まで差圧が急に小さくなる)。フロックの剪断強度は直徑が一定値を超えると、急激に小さくなる。これは間隙の規模と、フロック膜を構成しているマイクロフロックの結鎖構造の大きさにかかわるのであるまい。カオリンとベントナイトでは、同一のフィルター径でも差異を生じる。アルミナ量の多いによっても変化する。膜の厚さはこの場合差程大きな影響はない。膜厚は透水抵抗を支配するが、フロック自体の強度に対しては大きい影響はないようである。

文献 1) 木原・動道；急進過砂層抑止効果について、水道協会全国水道研究発表会、昭50年。

2) 木原；急進過砂層間隙の水理的特性について、土木学会第32回学術講演会、昭和52年。

木原；急進過砂層中の粒上間隙、外せん断速度の分布の考察、水道協会関西支部研究発表会、昭和52年。